

二维横向剪切干涉仪

陈钰明 冯大任 邹海兴

(中国科学院上海光机所)

提要: 一张剪切干涉图不足以描述一个波面。要重构一个任意形状的波面, 必须用两张正交方向剪切的干涉图。本文研究了两种类型的二维横向剪切干涉仪: 正交剪切棱镜型和网格光栅型。论述了用干涉图数据来重构波面的方法, 并用这种方法处理了我们实验中所获得的干涉图。

Two dimensional lateral shearing interferometer

Chen Yuming 冯大任 Zou Haixing

(Shanghai Institute of Optics and Fine Mechanics, Academia Sinica)

Abstract: A single shearing interferogram is not sufficient to describe a wavefront. Two interferograms sheared in orthogonal directions must be used to reconstruct the wavefront of any arbitrary shape. Two types of two dimensional lateral shearing interferometers have been studied: orthogonal shearing prism and crossed grating. A method is described that uses data obtained from the interferograms to reconstruct the wavefront. It was used in processing the interferograms obtained in our experiment.

我们研制了两种稳定而简单的二维横向剪切干涉仪。一种是正交剪切棱镜型(见图1); 它由两块剪切方向互相垂直的剪切棱镜及分光系统构成, 剪切量是固定的。图2是二维横向剪切棱镜干涉仪装置示意图。另一种是网格光栅型(见图3), 它是 Ronchi 型光栅干涉仪的一种改进^[1,2], 由两块全息摄影或微缩摄影制成的网格光栅平行迭置而成。通过转动两块光栅板的相对角度, 可以任意改

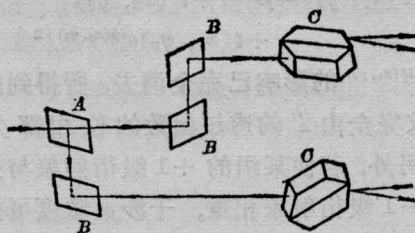


图2 二维横向剪切棱镜干涉仪装置示意图
A—分光板; B—反射镜; C—一维剪切棱镜



图1 二维棱镜剪切干涉仪

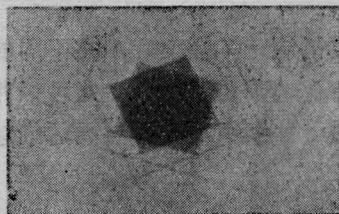


图3 二维光栅剪切干涉仪

收稿日期: 1979年11月30日。

变剪切量来变化干涉仪的有效灵敏度以适应被测系统的要求。

二维剪切干涉条纹的数据处理

二维剪切干涉图的解释不象台曼-格林等干涉仪所获得的干涉图那样简单,这是因为干涉出现在两个不完整的波面之间,而不是一个不完整波面(被检测系统)和一个完整波面(参考波面)之间,因此需要相当的计算量,我们采用的方法基本上类似于Rimmer所用的方法^[3]。

如果所求的波面是 $\omega(x, y)$,则正交方向的两个剪切值可写为:

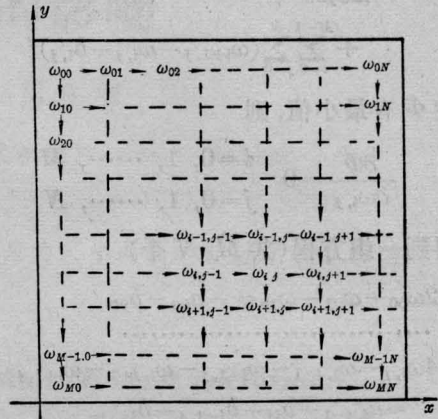
$$\begin{cases} a(x, y, S) = \omega(x+S, y) - \omega(x, y) \\ b(x, y, T) = \omega(x, y+T) - \omega(x, y) \end{cases} \quad (1)$$

这里 a, b 为不同方向剪切图上的干涉条纹的测量值; S 和 T 分别为 x 方向和 y 方向各自对应的剪切量。这两个剪切量可以相同,也可以不同。这样就可以通过测量相隔剪切距离的那些点上的 a, b 值来求出未知波面 $\omega(x, y)$ 。

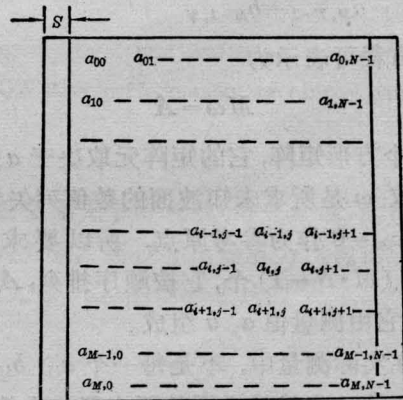
假定被测波面按剪切量 S, T 为间隔分割,相应点分别表示为 $\omega_{00}, \omega_{01}, \dots, \omega_{MN}$ (见图4(a))。箭头指前后两个波面迭加,也表示计算时所取的路线。图4(b)和图4(c)分别是 x 方向和 y 方向剪切干涉取样测量图, a, b 分别表示测量值,它们与 ω 的关系按剪切原理是: $a_{ij} = \omega_{i, j+1} - \omega_{i, j}$, $b_{i, j} = \omega_{i+1, j} - \omega_{i, j}$ 等等。即

$$\begin{cases} a_{00} = \omega_{01} - \omega_{00} \\ \dots \\ a_{ij} = \omega_{i, j+1} - \omega_{i, j} \\ \dots \\ a_{M, N-1} = \omega_{M, N} - \omega_{M, N-1} \\ b_{00} = \omega_{10} - \omega_{00} \\ \dots \\ b_{i, j} = \omega_{i+1, j} - \omega_{i, j} \\ \dots \\ b_{M-1, N} = \omega_{M, N} - \omega_{M-1, N} \end{cases} \quad (2)$$

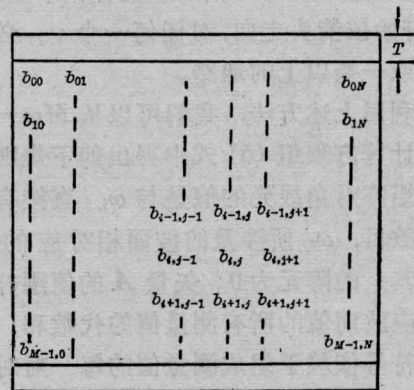
这里有 $[M(N-1) + N(M-1)]$ 个方程式,求 $M \cdot N$ 个未知数,因此可以从中选择 $M \cdot N$ 个方程求出 $M \cdot N$ 个 $\omega_{i, j}$ 。但由于 a, b 是选定点测量值,存在一定的误差,因此不同的选



(a) 按剪切量 S (x 方向剪切)、 T (y 方向剪切)为间隔的被测波面 ω 示意图



(b) x 方向剪切干涉取样测量图



(c) y 方向剪切干涉取样测量图

图 4

择路线会算出不同误差的结果。要合理地减少误差,可以使其均方根差为极小值。令 Φ 为:

$$\Phi = \sum_{i=0}^{M-1} \sum_{j=0}^{N-1} (\omega_{i,j+1} - \omega_{i,j} - a_{i,j})^2 + \sum_{i=0}^{M-1} \sum_{j=0}^{N-1} (\omega_{i+1,j} - \omega_{i,j} - b_{i,j})^2 \quad (3)$$

要使 Φ 有最小值,则

$$\frac{\partial \Phi}{\partial \omega_{i,j}} = 0 \quad \begin{matrix} i=0, 1, \dots, M \\ j=0, 1, \dots, N \end{matrix} \quad (4)$$

则得到一组方程(共 $M \cdot N$ 个)

$$\begin{cases} 2\omega_{00} - \omega_{01} - \omega_{10} = -a_{00} - b_{00} \\ \dots\dots\dots \\ 4\omega_{i,j} - \omega_{i,j-1} - \omega_{i-1,j} - \omega_{i,j+1} - \omega_{i+1,j} \\ = a_{i,j-1} - a_{ij} + b_{i-1,j} - b_{ij} \\ \dots\dots\dots \\ 2\omega_{M,N} - \omega_{M-1,N} - \omega_{M,N-1} \\ = a_{M,N-1} + b_{M-1,N} \end{cases} \quad (5)$$

这组方程可表示为

$$M\omega = A \quad (6)$$

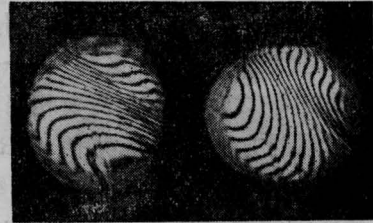
M 是个方形矩阵,它的矩阵元取决于 a 、 b 值的选取; ω 是所求未知波面的数值列矢量,我们取 $\omega_{00} = 0$ 作为参考原点,所以要求解的 $\omega_{i,j}$ 共 $(M \cdot N - 1)$ 个,它按顺序排列; A 是列矢量,它由测量值 a 、 b 组成。

在实际测量中,不是每一个 a_{ij} 、 b_{ij} 值都要选取的,也就是说不是图中每一个箭头都是必须的。可以删去一些,但有一个原则,从 ω_{00} 开始按箭头走向,对任何一个 $\omega_{i,j}$ 必须有一条或一条以上的通路。

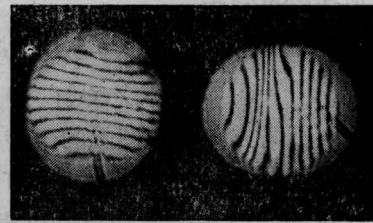
利用上述方法,我们可以从 $M\omega = A$ 形式的计算方程组(5)式中得出如下规则: M 方形矩阵对角线元的值是与 $\omega_{i,j}$ 直接有关的波面数目, ω_{ij} 所涉及的波面相对应的元是 -1 ,其余的阵元为 0 。矢量 A 的值刚好是包括对应波面值的所有测量值的代数和,测量值的符号依赖于组成测量值的每一对对应波面的关系。这样,求解方程组(6)就得到在相隔剪切距离的每一点上所求的波面值。

实验结果及分析

我们在二维剪切棱镜干涉仪上进行了测试。被测系统放在干涉仪前面,将 6328 \AA 的 He-Ne 激光作为光源获得了干涉图(见图 5)。棱镜的反射面和分光面之间的夹角为



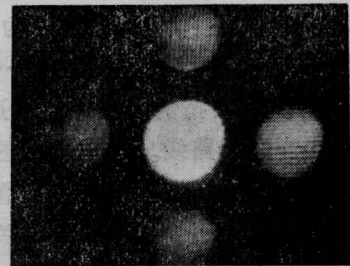
(a)



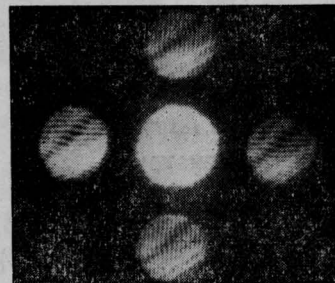
(b)

图 5 利用二维剪切棱镜干涉仪获得的干涉图

- (a) 被测系统为一块加工质量较差的光学玻璃;
- (b) 被测系统为被烟扰动的热空气流



(a) 无畸变时



(b) 畸变时

图 6 利用二维剪切光栅干涉仪测试畸变玻璃获得的干涉图

10', 由图可知剪切量大约为 0.3 左右。

我们在二维剪切光栅干涉仪中, 将 He-Ne 激光通过被检系统后引向 40 条/毫米的光栅中, 用两块光栅相对转动来变化剪切量, 获得合适的干涉图(见图 6)。干涉图花样中心是零级非衍射光束, 周围的四个花样是由两块光栅所产生的在 x 方向的 ± 1 级和在 y 方向的 ± 1 级衍射花样交迭相干。调整光栅间的相对转动量可获得合适的剪切量。

对实验所得的互相正交的两种剪切干涉条纹进行了数据处理, 以重新构造出原始的波面。将图 5 所示的干涉图用双坐标网格板来测定(见图 7, 网格距离等于剪切距离), 大约 25 个点均匀分布在干涉图上, 对每张干涉图都用一个公共的坐标系统, 测量黑条纹(或白条纹)中心位置均可确定数据。对于每一

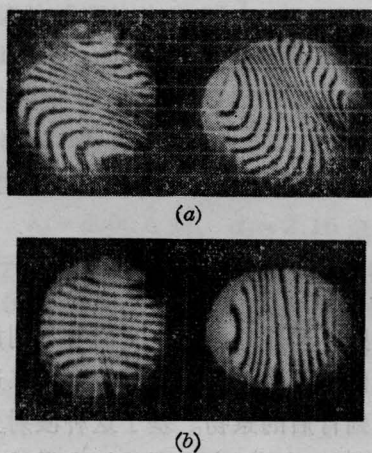
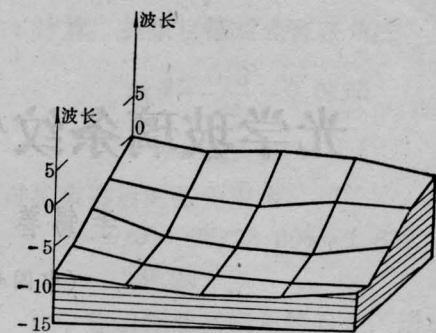


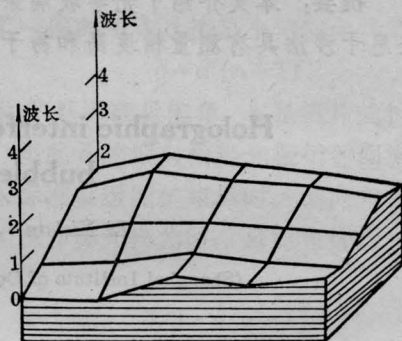
图 7 用网格板来测定干涉条纹数据的示意图

(上接第 31 页)

选择透镜半径可以大大提高耦合效率, 纤维相同, 球形半径为 30 微米的纤维其耦合效率比 $R=60$ 微米的高 8%, 计算表明, 球形半径等于纤维半径有最大接收角, 即最大耦合效率。而此种纤维平面端面的耦合效率只有 22%。F₄₆ 光学纤维, 因为折射率差和芯径都



(a) 被测系统为一块加工质量较差的光学玻璃



(b) 被测系统为被烟扰动的热空气流

图 8 利用图 7 所示的干涉图数据处理所得的重新构造波面二维图示

点的测量, 必须注意条纹相对的级。图 8 为图 7 所示干涉图中数据处理获得的波面。

参 考 文 献

- [1] V. Ronchi; *Appl. Opt.*, 1964, 3, 437.
- [2] A. Cornejo, D. Malacara; *Appl. Opt.*, 1970, 9, 1897.
- [3] M. P. Rimmer; *Appl. Opt.*, 1974, 13, 623.

很大, 所以计算得到的耦合效率可达 80% 以上。

参 考 文 献

- [1] G. A. Brackett; *J. Appl. Phys.*, 1974, 45, No. 6, 2636.
- [2] *Bell. Syst. Tech. J.*, 1972, 51, No. 3, 573.